

الباب الثالث  
النتائج والمناقشة

## الفصل الأول

أولاً : دراسة السلوك الطيفي وتقدير مترابك  
الانتقال البروتوني بين 2-أمينو-4-ميثيل بيريدين  
(2AMP) و 6،2-ثنائي كلورو-4-نيتروفينول  
(DCNP) في المذيبات المختلفة .

## الباب الثالث

### النتائج والمناقشة

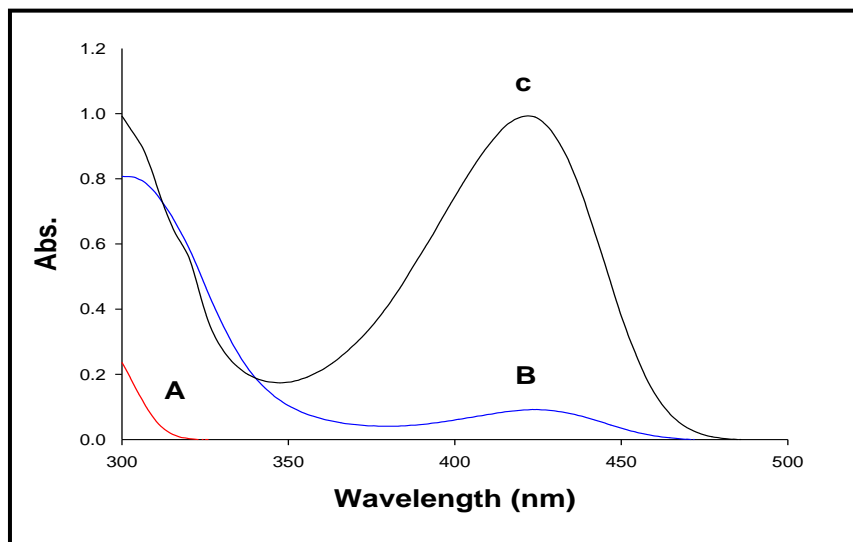
#### الفصل الأول

3-1-1-1- دراسة السلوك الطيفي وتقدير مترابك الانتقال البروتوني بين 2- أمينو-4-ميثيل بيريدين (2AMP) و 2،6-ثنائي كلورو-4-نيتروفينول (DCNP) في المذيبات المختلفة:

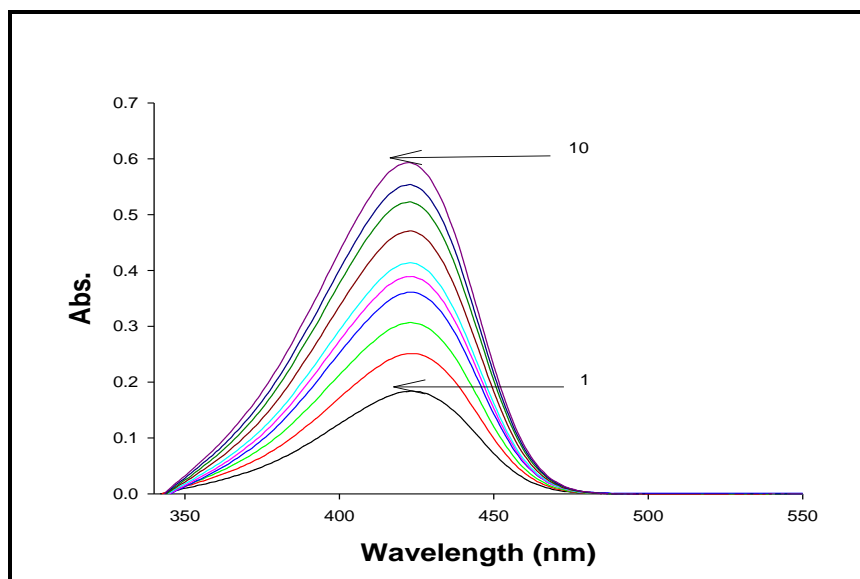
3-1-1-1-3- حزمة الامتصاص لمترابك الانتقال البروتوني:

توضح الأشكال [(1-3)، (3-3)، (5-3)] طيف الامتصاص الجزيئي في المجال المرئي وفوق البنفسجي لمحاليل 2AMP و DCNP بتركيز  $10 \times 10^{-4}$  مولار لكل منها وطيف المترابك الناتج من خلط  $10 \times 10^{-4}$  مولار من كل من الأمين والفينول في المذيبات المختلفة قيد الدراسة [والتي اشتملت على الأسيتونيتريل  $\text{CH}_3\text{CN}$  والميثانول  $\text{CH}_3\text{OH}$  ومخلوط من الاسيتونيتريل والميثانول بنسبة 1:1 (AN-Me) ] والذي أعطى حزم امتصاص جديدة عند 422، 400، 401,5 نانومتر على التوالي، تُعزى هذه الحزم إلى حدوث انتقال  $\pi \rightarrow \pi^*$  لمترابك الانتقال البروتوني المتكون. توضح الأشكال [(2-3)، (4-3)، (6-3)] طيف الامتصاص الجزيئي في المجال المرئي وفوق البنفسجي لمترابكات الانتقال البروتوني الناتجة من تفاعل  $10 \times 10^{-4}$  مولار من DCNP مع تراكيز مختلفة من 2AMP حيث لوحظ تكون مترابك الانتقال البروتوني ذو اللون الأصفر بمجرد إضافة الأمين إلى الفينول، ويلاحظ زيادة امتصاصية مترابك الانتقال البروتوني بزيادة تركيز الأمين حيث يتم تحديد

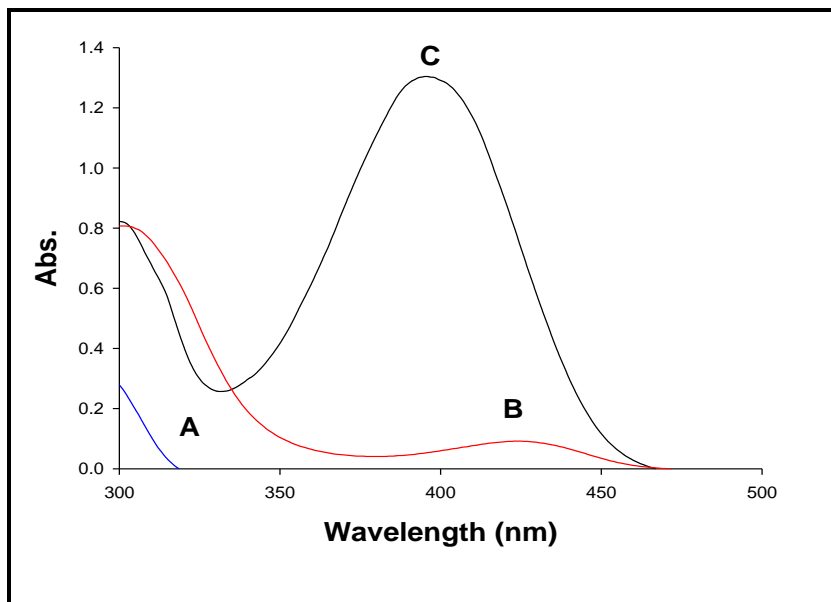
أعلى تركيز من ثباتية الامتصاصية عنده، وبزيادة تركيز الأمين نلاحظ أن النهاية العظمى لحزم الامتصاص ( $\lambda_{max}$ ) ثابتة تقريباً مما يؤكد عدم تكون مترابك انتقال بروتوني بين المذيبات و 2AMP، ونلاحظ من الأشكال أيضاً أن حزم الامتصاص متماثلة وتقع في المنطقة المرئية، وقد تم استخدام محلول مرجعي يحتوي على  $1 \times 10^{-4}$  مولار من الفينول في المذيب وذلك لمنع التداخل بين حزم المانح البروتوني والمترابك المتكون.



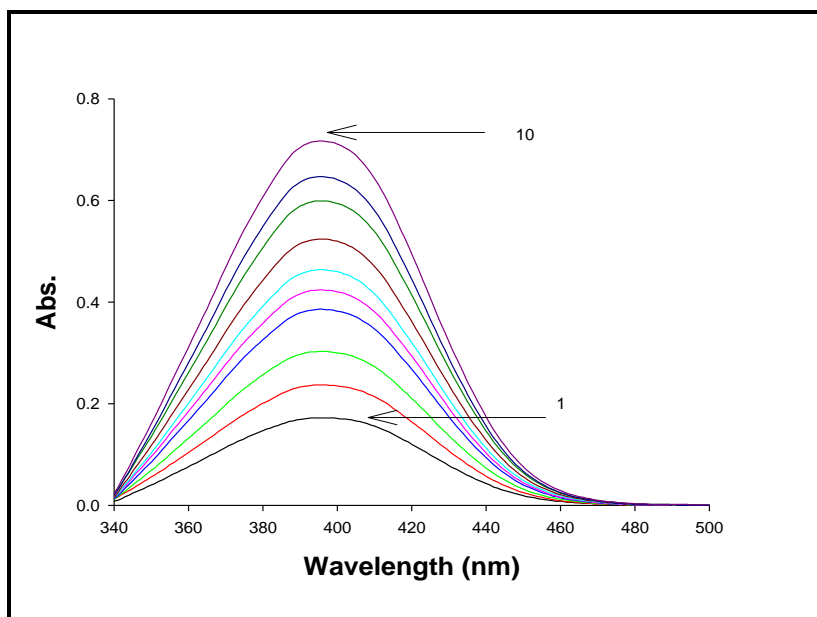
**Fig. (3-1): Electronic spectra: (A)  $1 \times 10^{-4}$  M (2AMP), (B)  $1 \times 10^{-4}$  M (DCNP) and (C)  $[1 \times 10^{-4}$  M (2AMP)+ $1 \times 10^{-4}$  M (DCNP)] in  $\text{CH}_3\text{CN}$ .**



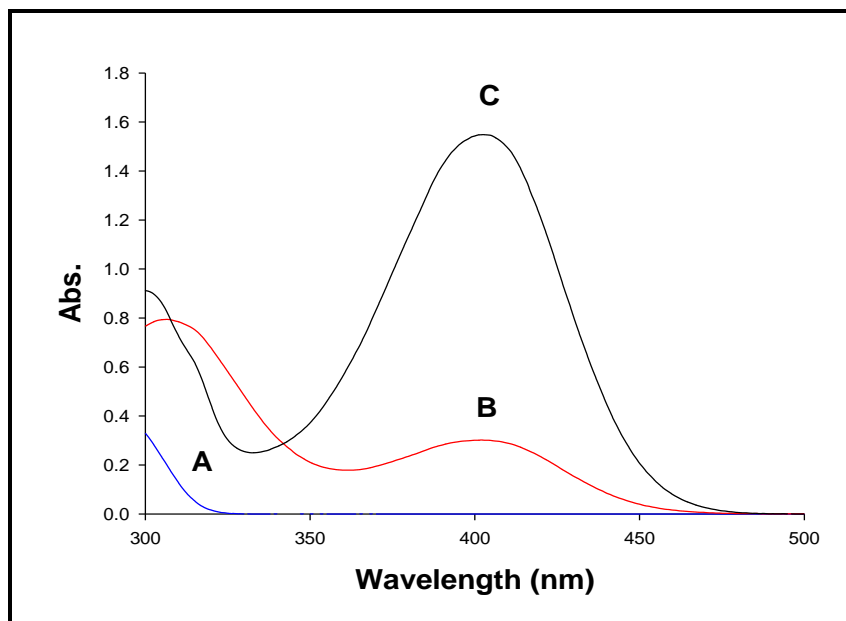
**Fig. (3-2): Electronic spectra of the proton transfer complex formation between  $1 \times 10^{-4}$  M DCNP and various concentrations of 2AMP in  $\text{CH}_3\text{CN}$ : (1)  $1 \times 10^{-5}$ , (2)  $1.5 \times 10^{-5}$ , (3)  $2 \times 10^{-5}$ , (4)  $2.5 \times 10^{-5}$ , (5)  $2.8 \times 10^{-5}$ , (6)  $3 \times 10^{-5}$ , (7)  $3.5 \times 10^{-5}$ , (8)  $4 \times 10^{-5}$ , (9)  $4.5 \times 10^{-5}$  and (10)  $5 \times 10^{-5}$  M.**



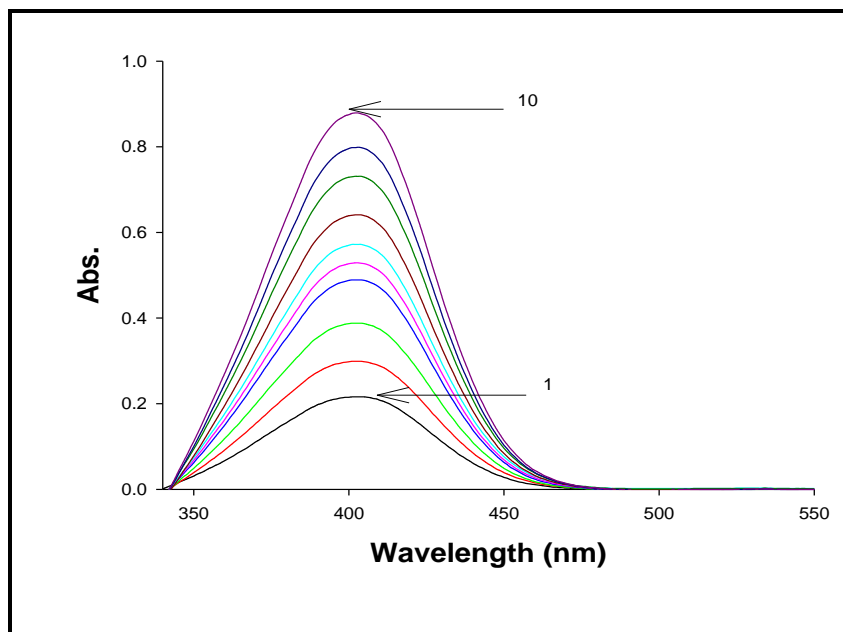
**Fig. (3-3): Electronic spectra: (A)  $1 \times 10^{-4}$  M (2AMP), (B)  $1 \times 10^{-4}$  M (DCNP) and (C) [ $1 \times 10^{-4}$  M (2AMP)+ $1 \times 10^{-4}$  M (DCNP)] in  $\text{CH}_3\text{OH}$ .**



**Fig. (3-4): Electronic spectra of the proton transfer complex formation between  $1 \times 10^{-4}$  M DCNP and various concentrations of 2AMP in  $\text{CH}_3\text{OH}$ : (1)  $1 \times 10^{-5}$ , (2)  $1.5 \times 10^{-5}$ , (3)  $2 \times 10^{-5}$ , (4)  $2.5 \times 10^{-5}$ , (5)  $2.8 \times 10^{-5}$ , (6)  $3 \times 10^{-5}$ , (7)  $3.5 \times 10^{-5}$ , (8)  $4 \times 10^{-5}$ , (9)  $4.5 \times 10^{-5}$  and (10)  $5 \times 10^{-5}$  M.**



**Fig. (3-5): Electronic spectra: (A)  $1 \times 10^{-4}$  M (2AMP), (B)  $1 \times 10^{-4}$  M (DCNP) and (C)  $[1 \times 10^{-4}$  M (2AMP)+ $1 \times 10^{-4}$  M (DCNP)] in AN-Me.**



**Fig. (3-6):** Electronic spectra of the proton transfer complex formation between  $1 \times 10^{-4}$  M DCNP and various concentrations of 2AMP in AN-Me: (1)  $1 \times 10^{-5}$ , (2)  $1.5 \times 10^{-5}$ , (3)  $2 \times 10^{-5}$ , (4)  $2.5 \times 10^{-5}$ , (5)  $2.8 \times 10^{-5}$ , (6)  $3 \times 10^{-5}$ , (7)  $3.5 \times 10^{-5}$ , (8)  $4 \times 10^{-5}$ , (9)  $4.5 \times 10^{-5}$  and (10)  $5 \times 10^{-5}$  M.

3-1-1-2- الظروف المثالية لتكوين المتراكبات:

3-1-2-1- تأثير زمن التفاعل:

تم دراسة تأثير زمن التفاعل على ثباتية متراكبات الانتقال البروتوني المتكون من تفاعل  $10 \times 10^{-4}$  مولار من كل من DCNP و 2AMP حيث لوحظ ثبات المتراكبات الناتج خلال ساعتين من تكونه في المذيبات المختلفة قيد الدراسة كما هو مدون في الجدول (3-1) والشكل (3-7).

3-1-2-2- تأثير تركيز 2,6 ثنائي كلورو-4 نيتروفينول (DCNP)

تم دراسة تأثير تركيز DCNP على ثباتية المترابك المتكون من تفاعل  $10 \times 10^{-4}$  مولار من 2AMP مع حجوم مختلفة من DCNP بتركيز  $10 \times 10^{-4}$  مولار حيث لوحظ ان 2-1 مل هو الحجم اللازم من DCNP للحصول على تفاعل تام مع 2AMP في المذيبات المختلفة قيد الدراسة كما هو موضح في الجدول (3-2) والشكل (3-8).

### 3-1-1-2-3- تأثير درجة الحرارة:

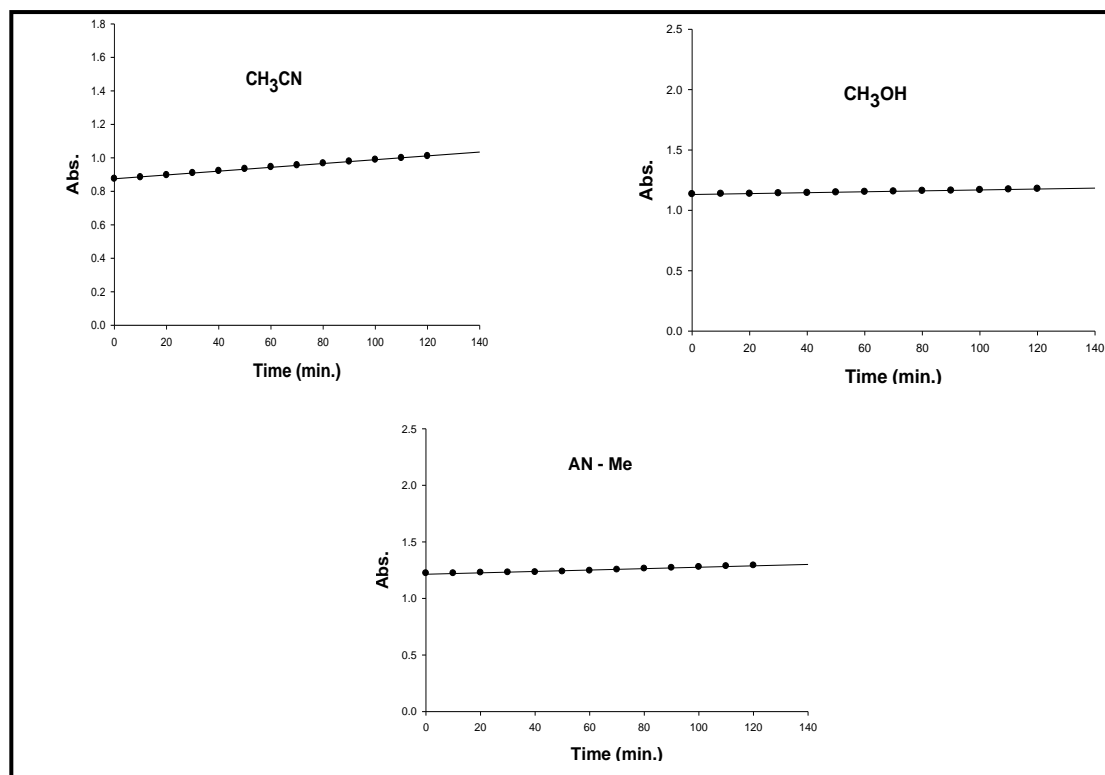
تم دراسة تأثير درجات الحرارة على ثباتية المترابك المتكون من تفاعل  $10 \times 10^{-4}$  مولار من كل من 2AMP و DCNP في المدى ( $20^{\circ}\text{C} - 50^{\circ}\text{C}$ ) حيث لوحظ أن أعلى قيمة للإمتصاصية كانت عند درجة حرارة الغرفة في المذيبات المختلفة قيد الدراسة كما هو موضح في الجدول (3-3) والشكل (3-9) لذلك تم اختيار درجة حرارة الغرفة كدرجة مثالية لإجراء التجارب.

**Table (3-1): Effect of time on the absorbance of the [2AMP-DCNP] PT complex in different solvents at room temperature.**

Abs. Time (min.)	CH <sub>3</sub> CN $\lambda_{\text{max}} = 423.00 \text{ nm}$	CH <sub>3</sub> OH $\lambda_{\text{max}} = 395.50 \text{ nm}$	AN-Me $\lambda_{\text{max}} = 402.50 \text{ nm}$
0	0.875	1.134	1.223
10	0.884	1.137	1.223
20	0.897	1.138	1.229
30	0.909	1.142	1.231
40	0.922	1.145	1.233
50	0.934	1.149	1.238
60	0.945	1.153	1.246
70	0.956	1.157	1.255



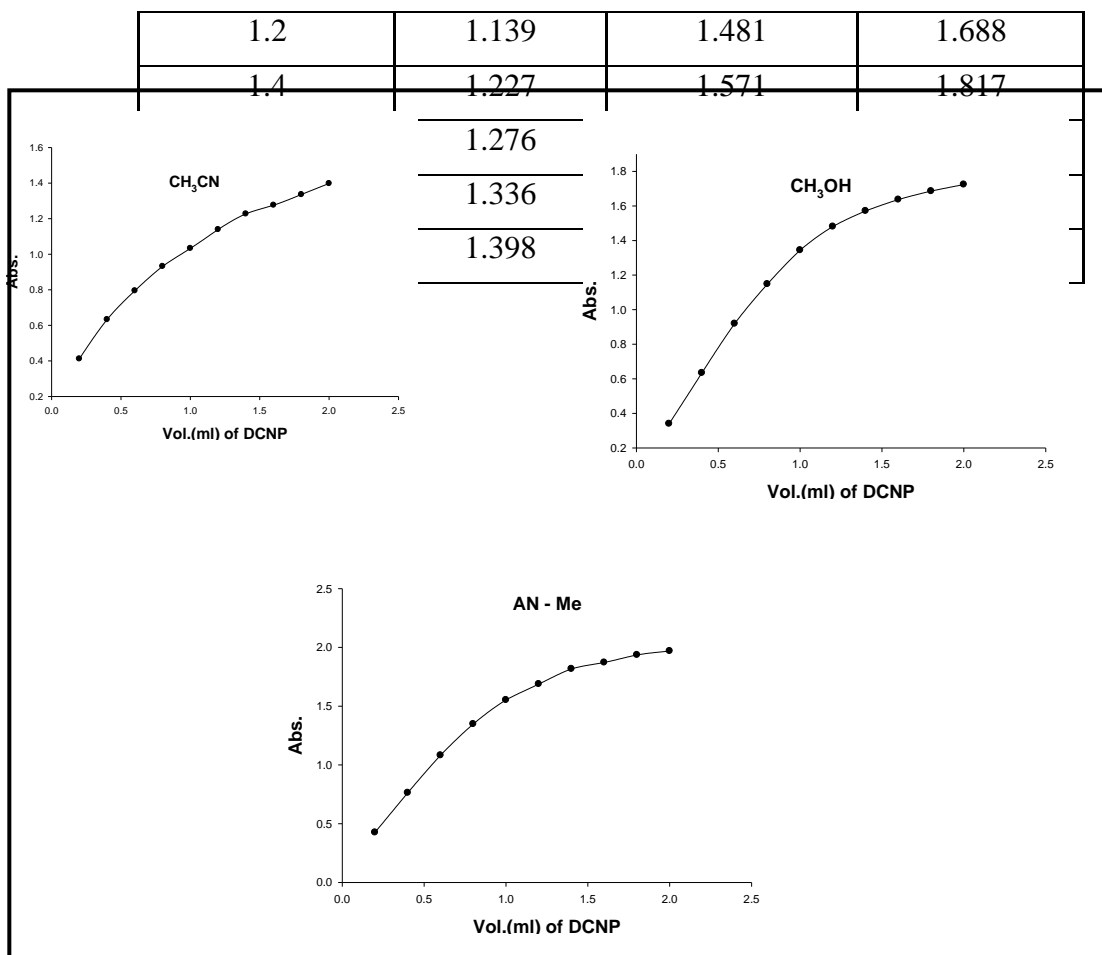
80	0.967	1.162	1.264
90	0.978	1.164	1.271
100	0.989	1.169	1.279
110	0.999	1.174	1.286
120	1.011	1.179	1.292



**Fig. (3-7):** Effect of time on the absorbance of the [2AMP-DCNP] PT complex in different solvents at room temperature.

**Table (3-2):** Effect of DCNP concentration on the absorbance of the [2AMP-DCNP] PT complex in different solvents at room temperature .

Vol.(ml)of DCNP \ Abs.	CH <sub>3</sub> CN	CH <sub>3</sub> OH	AN-Me
	$\lambda_{\max} = 423.00 \text{ nm}$	$\lambda_{\max} = 395.50 \text{ nm}$	$\lambda_{\max} = 402.50 \text{ nm}$
0.2	0.412	0.340	0.426
0.4	0.633	0.634	0.763
0.6	0.795	0.919	1.082
0.8	0.932	1.148	1.348
1.0	1.033	1.344	1.553

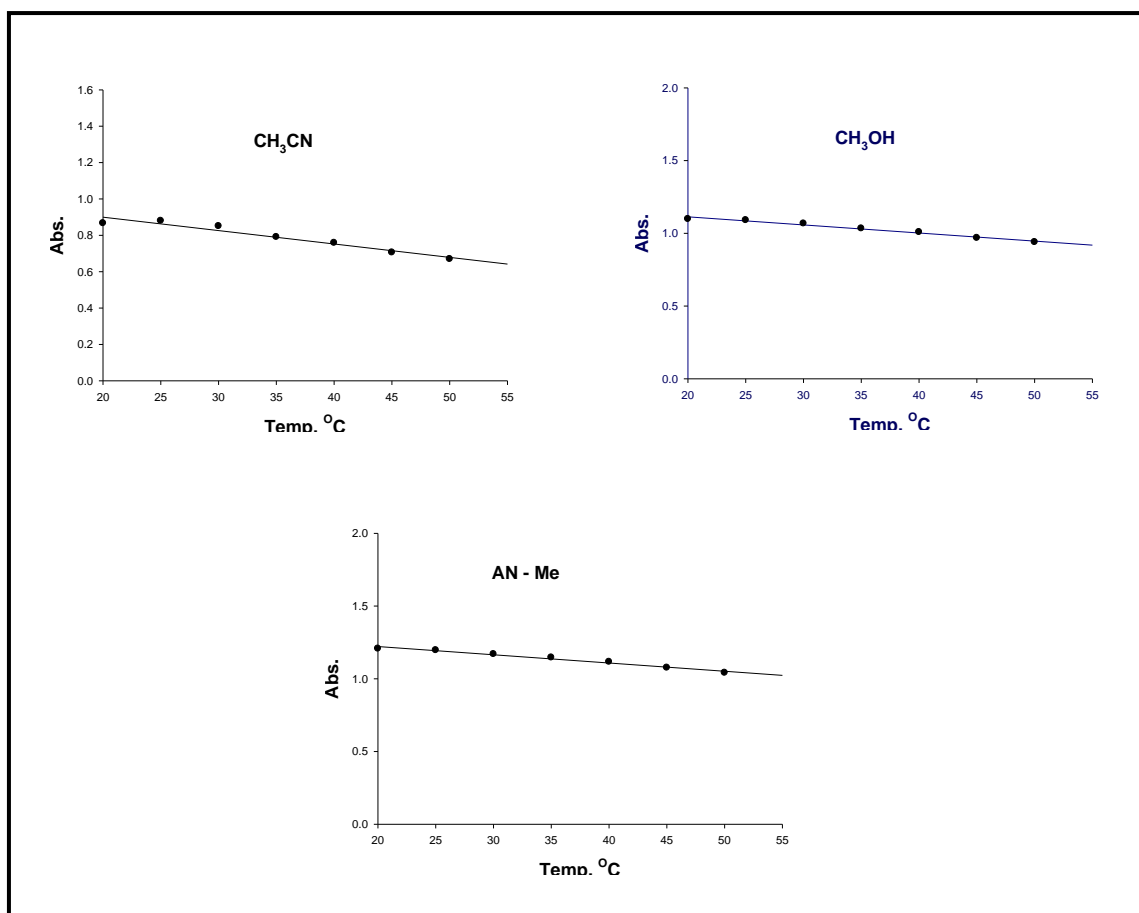


**Fig. (3-8):** Effect of CHA concentration on the absorbance of the [2AMP-DCNP] PT complex in different solvents at room temperature .

**Table (3-3):** Effect of temperature on the absorbance of the [2AMP-DCNP] PT complex in different solvents.

Abs. / Temp. °C	CH <sub>3</sub> CN $\lambda_{\max} = 423.00 \text{ nm}$	CH <sub>3</sub> OH $\lambda_{\max} = 395.50 \text{ nm}$	AN-Me $\lambda_{\max} = 402.50 \text{ nm}$
20	0.867	1.099	1.208
25	0.880	1.091	1.197
30	0.851	1.068	1.170
35	0.791	1.034	1.147
40	0.759	1.009	1.117
45	0.706	0.969	1.077

50	0.670	0.940	1.042
----	-------	-------	-------



**Fig. (3-9): Effect of temperature on the absorbance of the [2AMP-DCNP] PT complex in different solvents.**

### 3-1-1-3- دراسة تأثير تركيز 2AMP على امتصاصية مترابك الانتقال البروتوني مع DCNP عند درجات حرارة مختلفة:

تم دراسة تأثير تركيز الأمين المضاف على امتصاصية المترابكات الناتجة من تفاعلها مع  $10 \times 10^{-4}$  مولار من DCNP عند درجات حرارة مختلفة في المذيبات المختلفة قيد الدراسة وذلك عند  $\lambda_{max}$ ، ويلاحظ أنه بزيادة تركيز الأمين تزداد الامتصاصية لزيادة تركيز مترابك الانتقال البروتوني المتكون. ويتضح من الجدول (3-4) أن درجة حرارة الغرفة هي الدرجة المثالية للتفاعل.

### 3-1-1-4- تعيين التركيب الجزيئي للمترابك:

#### 3-1-4-1-1-3- طريقة التغيرات المستمرة (Job's method):

تم دراسة نسب التفاعل الجزيئية لمترابكات الانتقال البروتوني المتكونة بين 2AMP و DCNP وذلك بتطبيق طريقة جوب (طريقة التغيرات المستمرة) بتحضير محلولين رئيسيين بتركيز  $10 \times 10^{-3}$  مولار لكل من المستقبل والمانح البروتوني في المذيبات المختلفة قيد الدراسة، ومن رسم العلاقة بين الامتصاصية والكسر الجزيئي للمانح البروتوني تم الحصول على منحنى متماثل وتمثل النقطة الواقعة عند النهاية العظمى للمنحنى النسبة الجزيئية بين المستقبل والمانح البروتوني والتي تؤكد تكون المترابك بنسبة 1:1 حيث الكسر الجزيئي عندها 0,5 كما يتضح في الشكل (3-10).

#### 3-1-4-1-2- طريقة المعايير الطيفية:

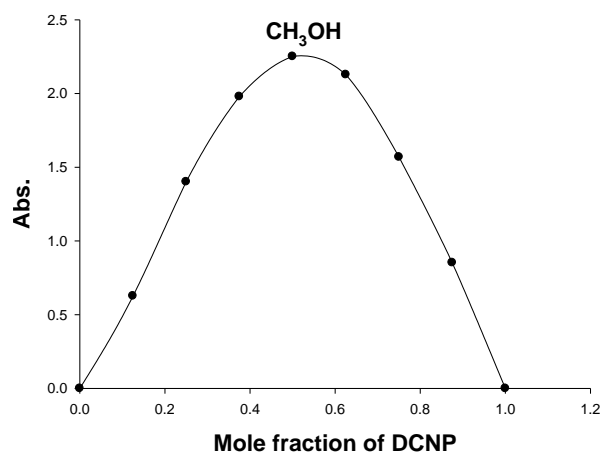
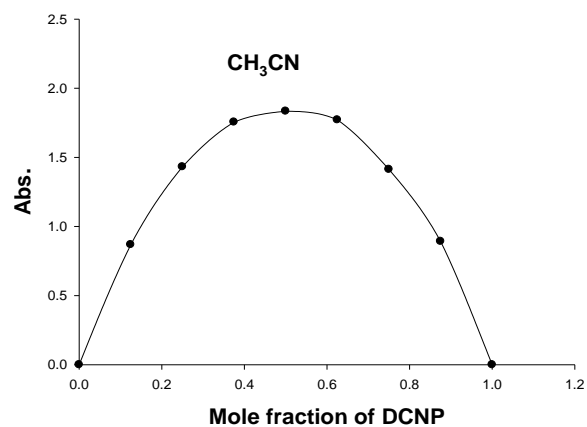
في طريقة المعايير الطيفية تضاف حجوم مختلفة من الفينول بتركيز  $10 \times 10^{-3}$  مولار إلى تراكيز معلومة من الأمين  $7,5 \times 10^{-5}$  مولار في الاسيتونيتريل والمخلوط و  $2,5 \times 10^{-5}$  مولار في الميثانول حتى نحصل على نسبة جزيئية للمانح إلى المستقبل البروتوني تبلغ 2، ومن رسم العلاقة بين قيم الامتصاصية والنسبة بين المانح إلى المستقبل البروتوني ينتج خطان مستقيمان ذو ميلين مختلفين ويتقاطعان عند النسبة 1:1 كما يظهر في الشكل (3-11)

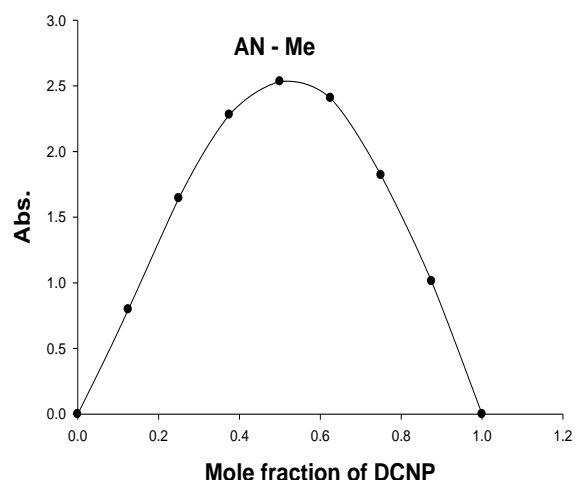
وهذا يتفق مع طريقة جوب أن المترابك يتكون بنسبة جزيئية (1:1) [مانح بروتوني : مستقبل بروتوني].

**Table (3-4): Effect of 2AMP concentration on the absorbance of its PT complex with  $1 \times 10^{-4}$  M DCNP at different temperatures.**

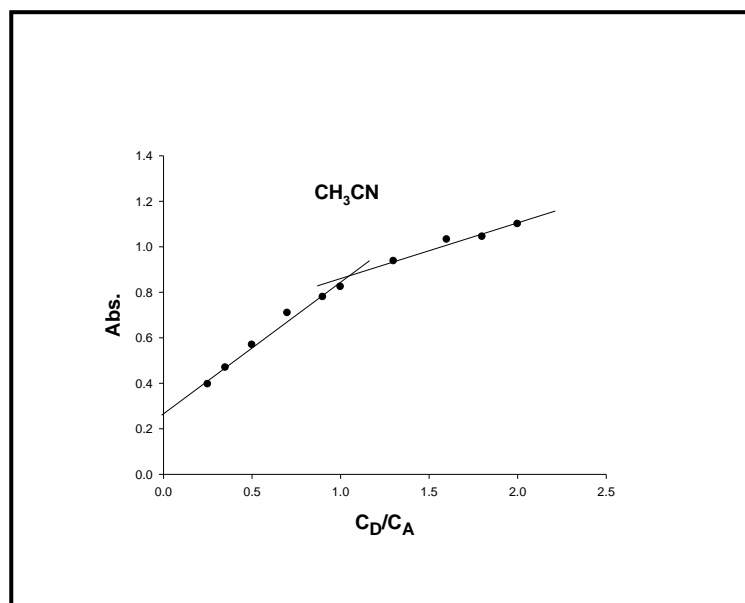
Solvent	Conc.amine $\mu\text{g/ml}$	Conc.amine [M]	Abs. at $\lambda_{\text{max}} = 423.00 \text{ nm}$				
			20°C	25°C	30°C	35°C	40°C
CH <sub>3</sub> CN	1.0814	0.000010	0.115	0.075	0.105	0.172	0.157
	1.6221	0.000015	0.163	0.136	0.163	0.210	0.201
	2.1628	0.000020	0.208	0.206	0.235	0.269	0.258
	2.7035	0.000025	0.269	0.272	0.303	0.326	0.333
	3.0279	0.000028	0.283	0.299	0.333	0.347	0.340
	3.2442	0.000030	0.300	0.326	0.363	0.368	0.361
	3.7849	0.000035	0.355	0.386	0.428	0.424	0.424
	4.3256	0.000040	0.404	0.441	0.475	0.466	0.453
	4.8663	0.000045	0.431	0.476	0.508	0.493	0.501
	5.4070	0.000050	0.499	0.541	0.569	0.554	0.551
CH <sub>3</sub> OH	Conc.amine $\mu\text{g/ml}$	Conc.amine [M]	Abs. at $\lambda_{\text{max}} = 395.50 \text{ nm}$				
			20 °C	25 °C	30 °C	35 °C	40 °C
	1.0814	0.000010	0.169	0.201	0.266	0.291	0.286
	1.6221	0.000015	0.228	0.232	0.234	0.261	0.266
	2.1628	0.000020	0.307	0.313	0.322	0.297	0.298
	2.7035	0.000025	0.404	0.404	0.412	0.407	0.407
	3.0279	0.000028	0.431	0.423	0.422	0.413	0.423
	3.2442	0.000030	0.468	0.458	0.460	0.455	0.458
	3.7849	0.000035	0.530	0.532	0.520	0.515	0.514
	4.3256	0.000040	0.584	0.590	0.575	0.580	0.582
4.8663	0.000045	0.657	0.656	0.642	0.634	0.628	
5.4070	0.000050	0.725	0.734	0.711	0.708	0.702	
AN – Me	Conc.amine $\mu\text{g/ml}$	Conc.amine [M]	Abs. at $\lambda_{\text{max}} = 402.50 \text{ nm}$				
			20 °C	25 °C	30 °C	35 °C	40 °C
	1.0814	0.000010	0.162	0.168	0.163	0.180	0.170
	1.6221	0.000015	0.238	0.236	0.239	0.245	0.421
	2.1628	0.000020	0.329	0.321	0.320	0.319	0.313
	2.7035	0.000025	0.412	0.416	0.411	0.415	0.411
	3.0279	0.000028	0.465	0.456	0.475	0.468	0.487

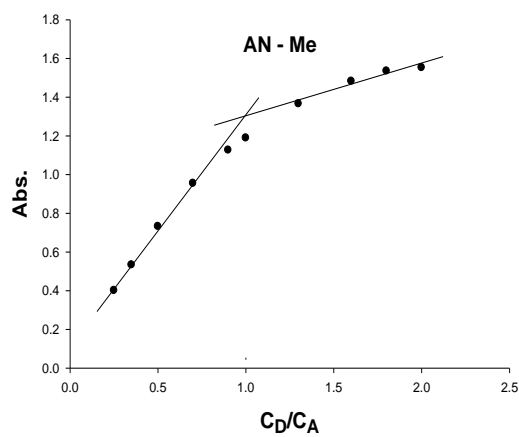
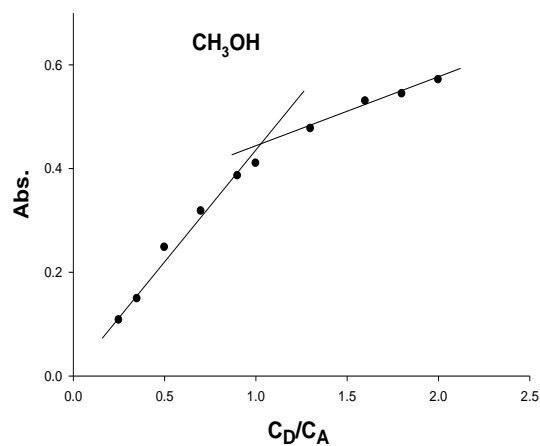
	3.2442	0.000030	0.509	0.501	0.515	0.508	0.522
	3.7849	0.000035	0.594	0.589	0.587	0.596	0.621
	4.3256	0.000040	0.658	0.654	0.637	0.631	0.649
	4.8663	0.000045	0.728	0.713	0.720	0.721	0.712
	5.4070	0.000050	0.792	0.776	0.775	0.762	0.762





**Fig. (3-10):** Job's plots of the [2AMP-DCNP] PT complex in different solvents at room temperature .





**Fig. (3-11): Spectrophotometric titration plots of the [2AMP-DCNP] PT complex in different solvents at room temperature .**

### 3-1-1-5- حساب ثابت التكوين للمترابكات:

تم استخدام طريقة النهاية الصغرى والعظمى للامتصاصية لحساب ثابت تكوين مترابكات الانتقال البروتوني حيث تُطبق المعادلة التالية:



(Habeeb, M. M. and Al-ghanmi, R. M. 2010)

$$K_{CT} = \frac{(A_{comp.} - A_{min.})}{C_{amine}(A_{max.} - A_{comp.})}$$

حيث أن:

$K_{CT}$  = ثابت التكوين ( $L.mol^{-1}$ ).

$A_{max.}$  = قيمة الامتصاصية العظمى للمتراب.

$A_{min.}$  = قيمة الامتصاصية الصغرى للمتراب.

$A_{comp.}$  = قيمة الامتصاصية للمتراب.

$C_{amine}$  = تركيز الأمين بالمولار.

يوضح الجدول (3-5) القيم المرتفعة لثابت تكوين مترابكات الانتقال البروتوني بين 2AMP و DCNP وهذا يدل على أن المترابكات المتكونة لها ثباتية مرتفعة في المذيبات المختلفة، ونلاحظ أن قيمة ثابت التكوين في مذيب الأسيتونيتريل سجلت أعلى قيمة وهذا يتفق مع عدم تداخل هذا المذيب مع المتفاعلات في ارتباط هيدروجيني مما يؤدي إلى سرعة التفاعل بين 2AMP و DCNP بالإضافة إلى قطبيته المرتفعة حيث أن قيمة ثابت العزل الكهربائي  $\epsilon$  للأسيتونيتريل=36، أما في مذيب الميثانول فقد كانت قيمة ثابت التكوين أقل من تلك في الأسيتونيتريل وذلك نتيجة لتداخل المذيب مع الأمين من خلال تكوين ارتباط هيدروجيني بين المراكز النيتروجينية في 2AMP مع مجموعة الهيدروكسيل في الميثانول بالإضافة إلى قطبيته المنخفضة حيث  $\epsilon$  للميثانول=32، وتوضح النتائج أيضاً أن قيمة ثابت التكوين في المخلوط كانت مشابهة لتلك في الميثانول على الرغم من ارتفاع قطبية المخلوط بالمقارنة بالميثانول ( $\epsilon$  للمخلوط=34) ويمكن الاستناد على وجود ارتباط هيدروجيني بين الميثانول والاسيتونيتريل والذي يؤدي إلى وجود زحمة فراغية تعيق تكوين المترابك وبالتالي إنخفاض قيمة ثابت التكوين في المخلوط مقارنة بالاسيتونيتريل .

**Table (3-5): Minimum-maximum absorbances data at room temperature of the [2AMP-DCNP ]PT complex in different solvents.**

Solvent	$\lambda_{max}$	$C_{amine}$	$A_{min}$	$A_{max}$	$A_{complex}$	$K_{CT} \times 10^3$ (L.mol <sup>-1</sup> )	Average $K_{CT} \times 10^3$ (L.mol <sup>-1</sup> )
CH <sub>3</sub> CN	423.00 nm	0.00015	0.184	0.593	0.251	1.31	6.79
		0.00020			0.307	2.15	
		0.00025			0.361	3.05	
		0.00028			0.389	3.59	
		0.00030			0.414	4.28	
		0.00035			0.471	6.72	
		0.00040			0.523	12.11	
		0.00045			0.554	21.08	
CH <sub>3</sub> OH	395.50 nm	0.00015	0.172	0.717	0.237	0.90	5.17
		0.00020			0.303	1.58	
		0.00025			0.386	2.59	
		0.00028			0.424	3.07	
		0.00030			0.464	3.85	
		0.00035			0.524	5.21	
		0.00040			0.599	9.05	
		0.00045			0.647	15.08	
AN – Me	402.50 nm	0.00015	0.216	0.879	0.299	0.95	5.32
		0.00020			0.388	1.75	
		0.00025			0.489	2.80	
		0.00028			0.529	3.19	
		0.00030			0.572	3.87	
		0.00035			0.641	5.10	
		0.00040			0.731	8.70	
		0.00045			0.799	16.19	

3-1-1-6- حساب معامل الإمتصاصية المولارية وعزم ثنائي القطب للمترابك [2AMP- DCNP في المذيبات المختلفة]:

تم حساب معامل الإمتصاصية المولارية عند أقصى تركيز لتكوين المترابك ومن قيمة الإمتصاصية المولارية تم حساب عزم ثنائي القطب اعتمادا على المعادلة (Rathone, Lindeman and Kochi 1997):

$$\mu = 0.0958 [\epsilon_{\max} \Delta v_{1/2} / v_{\max}]^{1/2} \rightarrow (1)$$

حيث أن:

$$\mu = \text{عزم ثنائي القطب.}$$

$$\Delta v_{1/2} = \text{نصف عرض حزمة الامتصاص عند أعلى تركيز.}$$

$$\epsilon_{\max} = \text{الامتصاصية الجزيئية عند } \lambda_{\max}.$$

$$v_{\max} = \text{العدد الموجي عند } \lambda_{\max}.$$

يوضح الجدول (3-6) النتائج التي تم الحصول عليها. ويتضح من الجدول أن الإمتصاصية المولارية قد سجلت قيماً مرتفعة مما يدل على ثباتية وسرعة تكوين المترابكات ولقد كانت قيم العزم ثنائي القطب منفتحة مع ذلك كما هو مبين في الجدول.

Table (3-6) : Molar extinction Coefficient ,wave number and dipole moment of the [2AMP- DCNP ]PT complex in different solvents.

Solvent	$\epsilon_{\max} \times 10^3$ L.mol <sup>-1</sup> .cm <sup>-1</sup>	$v_{\max} \times 10^2$ cm <sup>-1</sup>	$\mu$ (Debye)
CH <sub>3</sub> CN	9.89	236	37.88
CH <sub>3</sub> OH	14.5	253	34.70
AN - Me	15.8	248	40.30

--	--	--	--

### 3-1-1-7- دراسة تأثير الكاتيونات على امتصاصية المتراكب المتكون بين 2AMP و DCNP في المذيبات المختلفة:

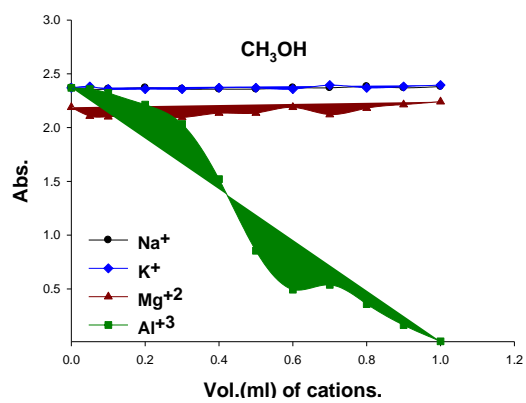
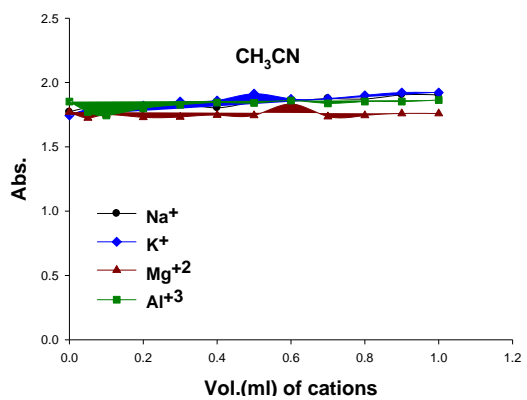
تم دراسة تأثير تداخل بعض الأيونات الفلزية مثل الصوديوم والبوتاسيوم والمغنيسيوم الألومنيوم ( $Na^+$ ,  $K^+$ ,  $Mg^{+2}$ ,  $Al^{+3}$ ) على امتصاصية متراكب الانتقال البروتوني عند نقطة التكافؤ من طريقة جوب حيث بينت النتائج عدم حدوث تداخل لجميع هذه الأيونات مع المتراكبات في الأسيتونيتريل أما في حالة الميثانول والمخلوط فقد حدث تداخل بين الألومنيوم والمتراكبات حيث لوحظ انخفاض واضح في قيمة الامتصاصية بالنسبة لأيون الألومنيوم الذي يحتوي على فراغات في مستوى الطاقة الرئيسي الثالث (حمض لويس) ما يؤدي إلى تكوين ارتباط تناسقي بين هذا الأيون والمراكز النيتروجينية في 2AMP وبالتالي لا تتم عملية تقدير متراكب الانتقال البروتوني في وجود الألومنيوم كما يتضح من الجدول (3-7) والشكل (3-12).

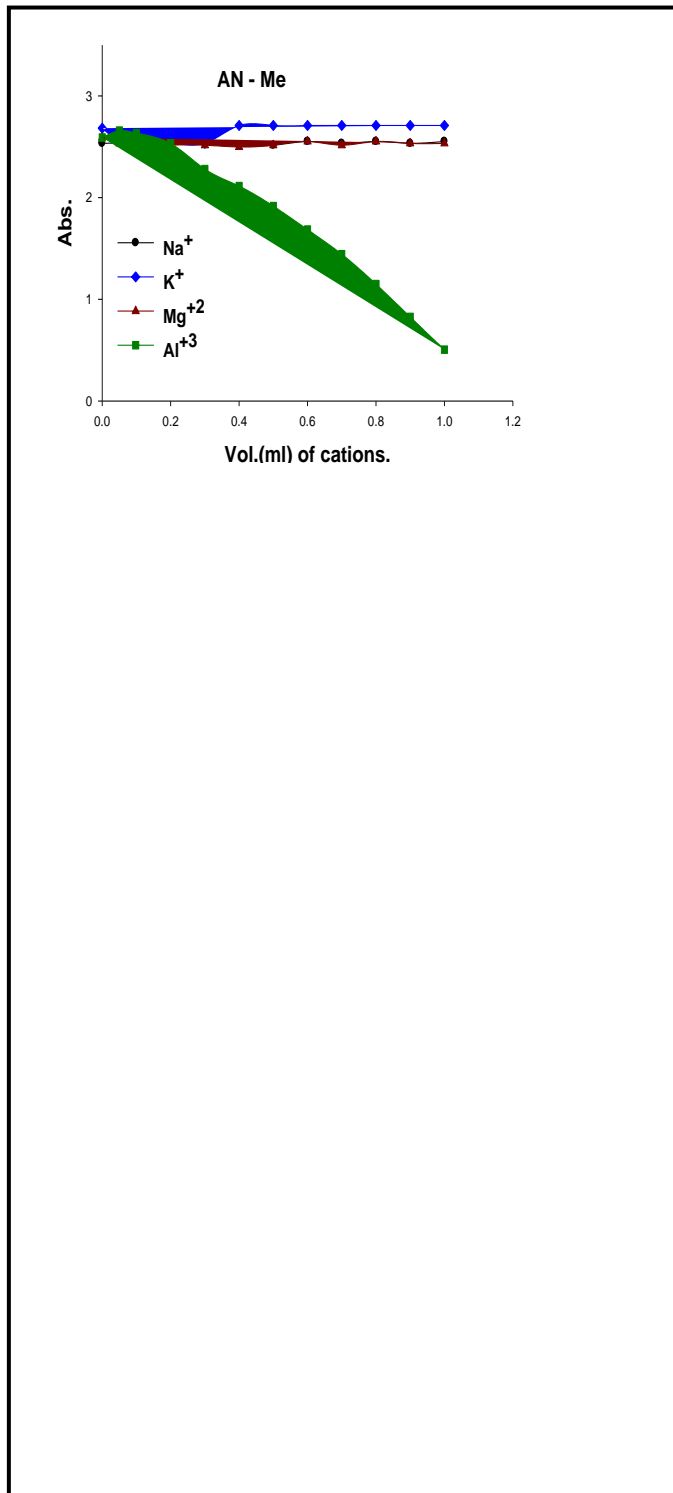
**Table (3-7): Effect of interfering cations on the absorbance of the [2AMP-DCNP] PT complex in different solvents at room temperature.**

Solvent	Vol. (ml) of cation*	Abs.			
		Na <sup>+</sup>	K <sup>+</sup>	Mg <sup>+2</sup>	Al <sup>+3</sup>
CH <sub>3</sub> CN 423.00 nm	0.00	1.771	1.744	1.771	1.852
	0.05	1.803	1.790	1.724	1.771
	0.10	1.790	1.787	1.750	1.744
	0.20	1.790	1.820	1.729	1.799
	0.30	1.830	1.852	1.732	1.827
	0.40	1.803	1.860	1.747	1.845
	0.50	1.849	1.913	1.744	1.841
	0.60	1.856	1.872	1.834	1.860
	0.70	1.875	1.875	1.735	1.838
	0.80	1.872	1.900	1.744	1.852
	0.90	1.904	1.922	1.759	1.852
	1.00	1.904	1.922	1.759	1.864
CH <sub>3</sub> OH 395.50 nm	0.00	2.370	2.370	2.189	2.370
	0.05	2.358	2.382	2.107	2.358
	0.10	2.358	2.358	2.101	2.323
	0.20	2.370	2.358	2.107	2.214
	0.30	2.358	2.358	2.094	2.033
	0.40	2.358	2.370	2.135	1.521
	0.50	2.358	2.370	2.135	0.855
	0.60	2.370	2.358	2.189	0.493
	0.70	2.370	2.395	2.121	0.538
	0.80	2.382	2.370	2.181	0.359
	0.90	2.370	2.382	2.214	0.164
	1.00	2.382	2.395	2.241	0.013
AN – Me 402.50 nm	0.00	2.533	2.683	2.591	2.591
	0.05	2.533	2.552	2.533	2.659
	0.10	2.515	2.533	2.498	2.635
	0.20	2.533	2.533	2.515	2.533
	0.30	2.533	2.533	2.515	2.280
	0.40	2.515	2.709	2.498	2.114
	0.50	2.515	2.709	2.515	1.917

	0.60	2.552	2.709	2.552	1.686
	0.70	2.533	2.709	2.515	1.444
	0.80	2.552	2.709	2.552	1.150
	0.90	2.533	2.709	2.533	0.827
	1.00	2.552	2.709	2.533	0.505

\*Stock solution of cations is  $1 \times 10^{-2}$  M





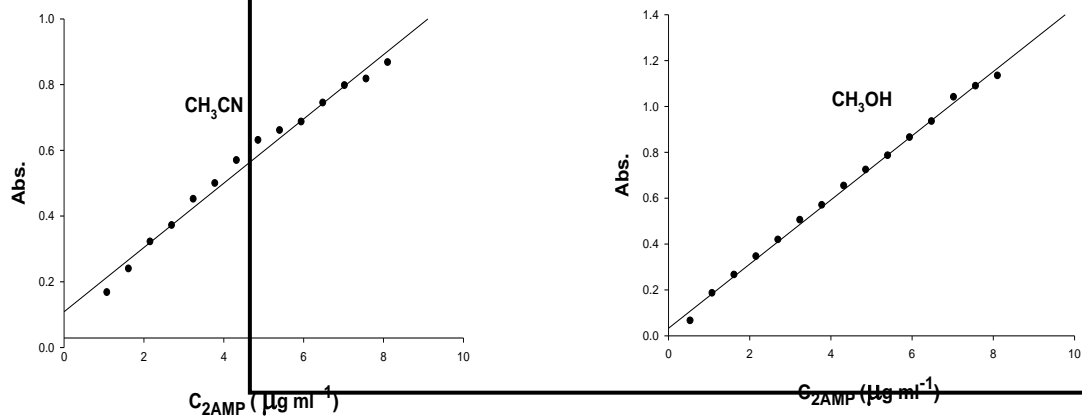
**Fig. (3-12): Effect of interfering cations on the absorbance of the [2AMP-DCNP] PT complex in different solvents at room temperature.**

### 3-1-1-8- تحقيق علاقة بيير والتحليل الإحصائية:

تم تحقيق علاقة بيير تحت الظروف المثالية للتفاعل كما هو موضح في الشكل (3-13) وذلك برسم العلاقة بين الامتصاصية وتركيز المستقبل البروتوني بالميكروجرام/مل حيث تم الحصول على خطوط مستقيمة جيدة مما يدل على حساسية الطريقة وكذلك الحصول على مدى صغير لعلاقة بيير ما يرجح تطبيق المترابك بطريقة الإنتقال البروتوني في المستحضرات الصيدلانية.

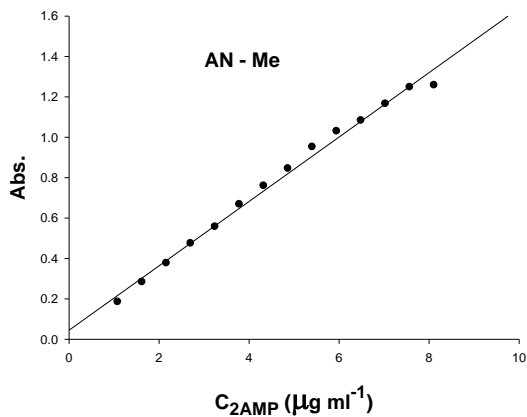
وقد طبقت التحاليل الإحصائية وتم حساب المعاملات الكمية لمتراكبات الانتقال البروتوني المتكونة بين 2AMP و DCNP في الميثانول والمخلوط بنسبة 1:1 ودونت النتائج في الجدول (3-8) حيث وُجد أنه يمكن تقدير تراكيز منخفضة من الأمين في مدى من التراكيز يتراوح ما بين 0,54- 8,11 ميكروجرام/مل مما يدل على دقة طريقة التقدير، وتم الحصول على قيم صغيرة للحد الأدنى للكشف والحد الكمي وهذا يدل على حساسية الطريقة، وأيضًا تم إيجاد معادلة الانحدار الخطي من رسم العلاقة بين الامتصاصية والتركيز بالميكروجرام/مل ومنها تم إيجاد الميل والجزء المقطوع من المحور الصادي وحد الثقة للميل وحد الثقة للجزء المقطوع وقد أعطت قيمًا صغيرة مما يؤكد وجود علاقة خطية قوية بين الامتصاصية والتركيز، وكذلك تم إيجاد معامل الارتباط حيث سجل قيمًا تقترب من الواحد الصحيح وهذا يؤكد أيضًا حساسية الطريقة ودقتها.





**Fig. (3-13): Beer's law plots of the [2AMP-DCNP] PT complex in different solvents at room temperature .**

**Table (3-8): Quantitative parameters of the [2AMP-DCNP] PT complex in different solvents.**



**law plots of the [2AMP-DCNP] PT complex in different solvents at room temperature .**

**Quantitative parameters of the [2AMP-DCNP] PT complex in different solvents.**

Parameter	CH <sub>3</sub> CN	CH <sub>3</sub> OH	AN – Me
Beer's law limits, µg mL <sup>-1</sup>	1.08-8.11	0.54-8.11	1.08-8.11
Limit of detection, µg mL <sup>-1</sup>	0.90	0.40	0.62
Limit of quantification, µg mL <sup>-1</sup>	3.00	1.33	2.07
Regression equation	Y=0.0978x+0.1087	Y=0.1399x+0.033	Y=0.1594x+0.0449
Intercept, a	0.1087	0.033	0.0449
Slope, b	0.0978	0.1399	0.1594
Confidence interval of intercept, α	0.1087±0.0183	0.033±0.0101	0.0449±0.0206
Confidence interval of slope, β	0.0978±0.0036	0.1399±0.0021	0.1594±0.004
Correlation coefficient, R <sup>2</sup>	0.9841	0.9972	0.9923
Molar absorptivity, L mol <sup>-1</sup> cm <sup>-1</sup>	10581.1	15127.86	17240.88

### 3-1-1-9- الدقة والمصادقية:

بالرجوع إلى العلاقة الخطية لقانون بيبير تم حساب معادلة الانحدار الخطي وذلك بطريقة المربعات الصغرى حيث تم تسجيل نسب الاسترداد المئوي لمتراكبات الانتقال البروتوني الناتجة من تفاعل 2AMP و DCNP وذلك باختيار عدة تراكيز مختلفة بالميكروجرام/مل من 2AMP تقع في مدى بيبير كما هو موضح في الجدول (3-9)، كما تم حساب الانحراف المعياري SD، والانحراف المعياري النسبي RSD، حيث وُجد أن قيمتهما صغيرة مما يدل على دقة طريقة التحليل، كما تم تعيين المدى الذي يمكن أن تقع ضمنه القيمة الحقيقية ( $\mu$ ) ووُجد أن القيمة المطلقة  $|\bar{X} - \mu|$  أقل من الخطأ المستقل  $\pm \frac{tS}{\sqrt{n}}$  حيث ( $\mu$ ) القيمة الحقيقية 100٪، ( $\bar{X}$ ) تمثل متوسط الاسترداد المئوي، ومن ذلك يتبين مصادقية الطريقة حيث لا يوجد فرق بين القيمة الحقيقية ومتوسط النتائج.

**Table (3-9): Precision and accuracy, from Beer's law in different solvents.**

Solvent	Amount taken $\mu\text{g mL}^{-1}$	Amount found $\mu\text{g mL}^{-1}$	Rec.%	$\bar{X}$	SD	RSD	$ \bar{X} - \mu $	$\pm \frac{tS}{\sqrt{n}}$	Confidence limits
CH <sub>3</sub> OH	1.30	1.29	99.23	99.7	1.68	1.69	0.3	$\pm 4.17$	99.7 $\pm$ 4.17
	4.11	4.04	98.30						
	5.08	5.16	101.57						
AN - Me	2.21	2.19	99.1	99.75	0.99	0.99	0.25	$\pm 2.46$	99.75 $\pm$ 2.46
	4.48	4.52	100.89						
	6.66	6.61	99.25						

t = 4.303 for n = 3 at 95% confidence level

SD = standard deviation

RSD = relative standard deviation

